

## Silizium-NPN-Epitaxial-Planar-HF-Transistor Silicon NPN Epitaxial Planar RF Transistor

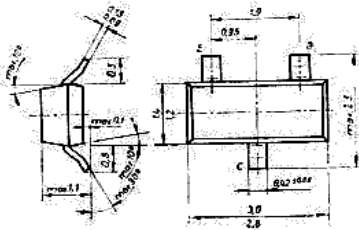
**Anwendungen:** HF-Verstärker in Basis-schaltung in Dick- und Dünnschichtschaltungen

### Besondere Merkmale:

- Kleine Rückwirkungskapazität
- Niedriger Rauschfaktor

### Abmessungen in mm

Gehäuse Bauform Y,  
ähnlich SOT 23  
TGL 11 811  
Plastgehäuse  
Masse ca. 0,02 g



### Dimensions in mm

Case construction Y,  
similar SOT 23  
TGL 11 811  
Plastic case  
Weight about 0.02 g

### Absolute Grenzdaten

#### Absolute maximum ratings

Kollektor-Basis-Spannung Collector-base voltage	$U_{CBO}$	40	V
Kollektor-Emitter-Spannung Collector-emitter voltage	$U_{CEO}$	25	V
Emitter-Basis-Spannung Emitter-base voltage	$U_{EBO}$	4	V
Kollektorstrom Collector current	$I_C$	25	mA
Gesamtverlustleistung Total power dissipation $t_{amb} \leq 45^\circ\text{C}$ , $R_{thJA} \leq 0,7 \text{ K/mW}$	$P_{tot}$	150	mW
Sperrschichttemperatur Junction temperature	$t_j$	150	$^\circ\text{C}$
Umgebungstemperaturbereich Ambient temperature range	$t_{amb}$	-55 ... +125	$^\circ\text{C}$
Lagerungstemperaturbereich Storage temperature range	$t_{stg}$	-55 ... +150	$^\circ\text{C}$

### Wärmewiderstände Thermal resistance

Sperrschicht-Umgebung  
Junction-ambient

auf Glassubstrat  $7 \times 7 \times 1 \text{ mm}$   
on glass substrat  
auf Keramik  $30 \times 12 \times 1$   
on ceramic

	Min.	Typ.	Max.
$R_{thJA}$			0,7 K/mW
$R_{thJA}$			0,45 K/mW

### Statische Kenngrößen

DC characteristics  $t_{amb} = 25^\circ\text{C} - 5 \text{ K}$

Kollektor-Basis-Reststrom  
Collector cut-off current

$U_{CB} = 40 \text{ V}$

$I_{CBO}$	< 1	500	nA
-----------	-----	-----	----

Kollektor-Emitter-Durchbruchspannung  
Collector-emitter breakdown voltage

$I_C = 1 \text{ mA}$

$U_{(BR)CEO}$	25		V
---------------	----	--	---

Emitter-Basis-Durchbruchspannung  
Emitter-base breakdown voltage

$I_E = 10 \mu\text{A}$

$U_{(BR)EBO}$	4		V
---------------	---	--	---

Basisstrom

Base current

$U_{CE} = 10 \text{ V}$ ,  $I_C = 1 \text{ mA}$

$I_B$	13	35	$\mu\text{A}$
-------	----	----	---------------

### Dynamische Kenngrößen

AC characteristics  $t_{amb} = 25^\circ\text{C} - 5 \text{ K}$

Grenzfrequenz

Cut-off frequency

$U_{CB} = 10 \text{ V}$ ,  $I_C = 1 \text{ mA}$ ,  $f = 100 \text{ MHz}$

$f_{yfb}$		750	MHz
-----------	--	-----	-----

Rauschfaktor

Noise figure

$U_{CB} = 10 \text{ V}$ ,  $I_C = 1 \text{ mA}$ ,  $f = 100 \text{ MHz}$ ,  
 $Y_G = (5 - j 3,3) \text{ mS}$

F	1,8	4	dB
---	-----	---	----

Kollektor-Rückwirkungszeitkonstante

Feedback time constant

$U_{CB} = 10 \text{ V}$ ,  $I_C = 1 \text{ mA}$ ,  $f = 30 \text{ MHz}$

$\tau_{bb} \cdot C_{b'c}$	8,4		ps
---------------------------	-----	--	----

Rückwirkungskapazität

Feedback capacitance

$U_{CB} = 10 \text{ V}$ ,  $I_E = 0$ ,  $f = 10,7 \text{ MHz}$

$-C_{rb}$	0,1	0,35	ps
-----------	-----	------	----

y-Parameter in Basisschaltung (typ.)

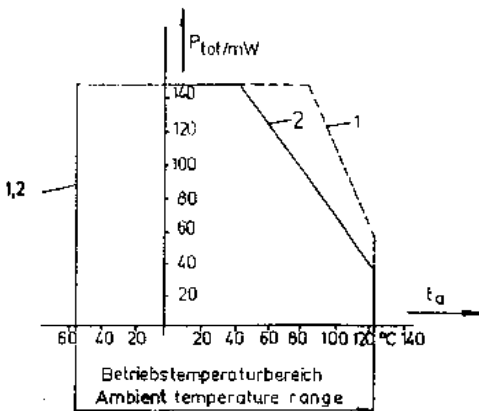
y-parameters in common base configuration (typ.)

$U_{CB} = 10\text{ V}$ ,  $I_C = 1\text{ mA}$ ,  $f = 100\text{ MHz}$

$g_{ib}$	37	mS
$C_{ib}$	-6	pF
$ Y_{rb} $	63	$\mu\text{S}$
$\angle \varphi_{rb}$	72	$^\circ$
$ Y_{fb} $	13	mS
$\angle \varphi_{fb}$	-171	$^\circ$
$g_{ob}$	30	$\mu\text{S}$
$C_{ob}$	1.7	pF

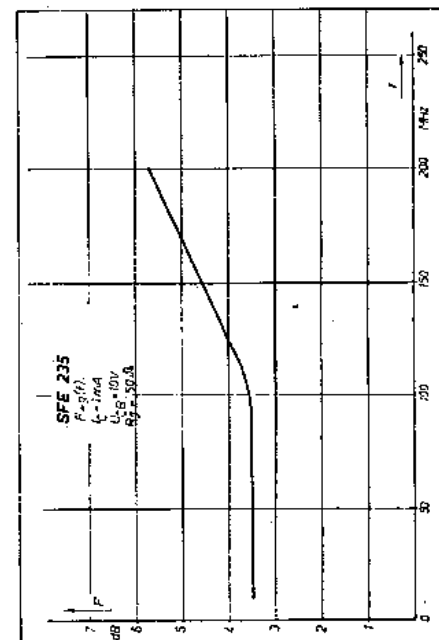
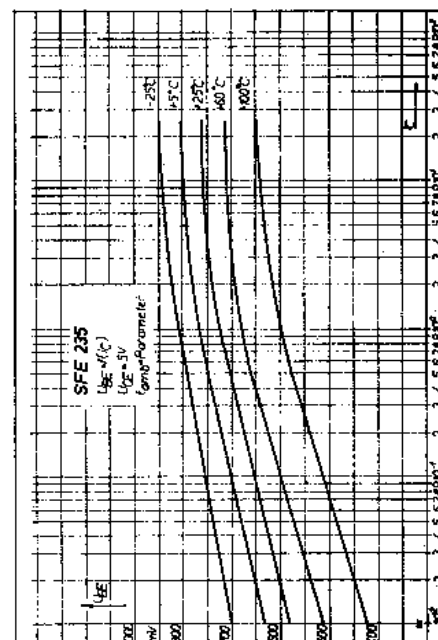
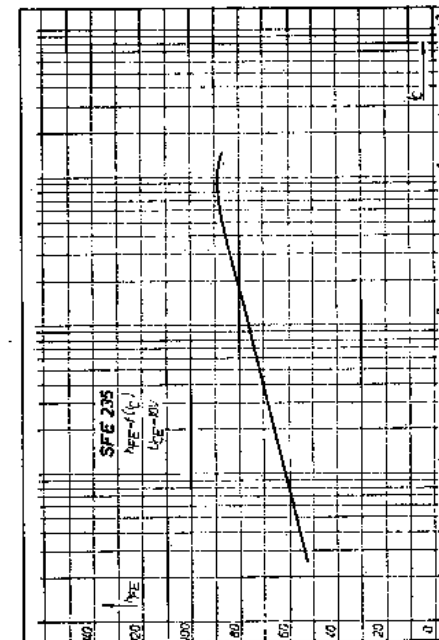
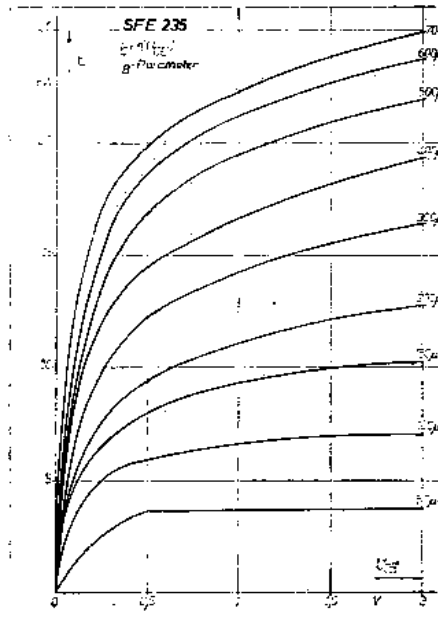
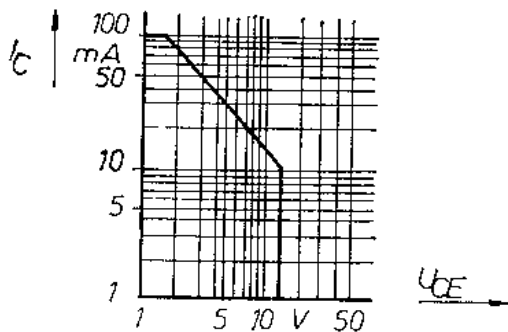
1) Messung erfolgt impulsmäßig,  $t_p/T = 0,01$ ,  $t_p = 0,3\text{ ms}$

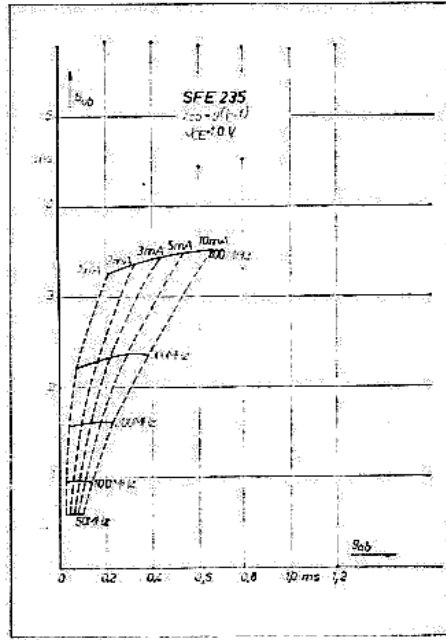
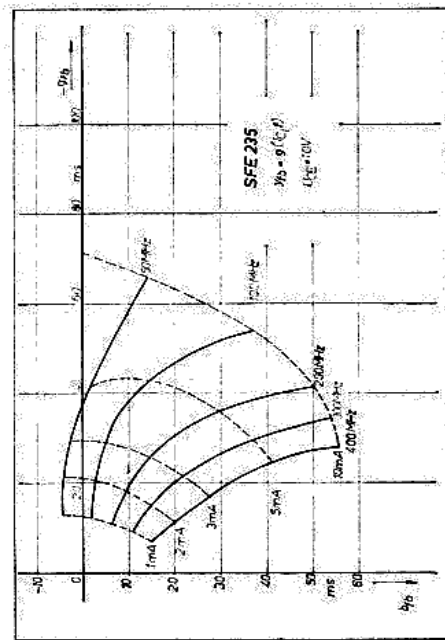
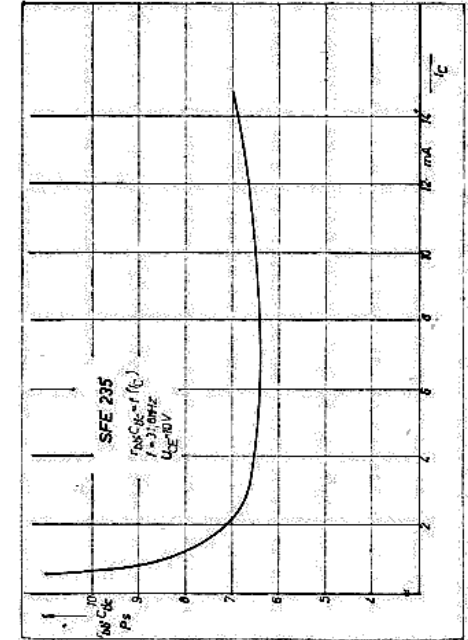
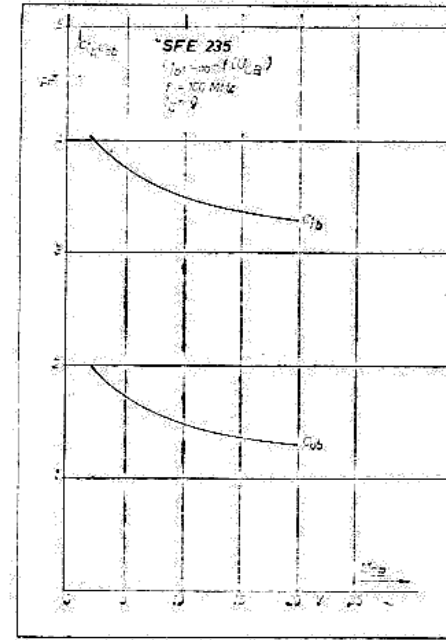
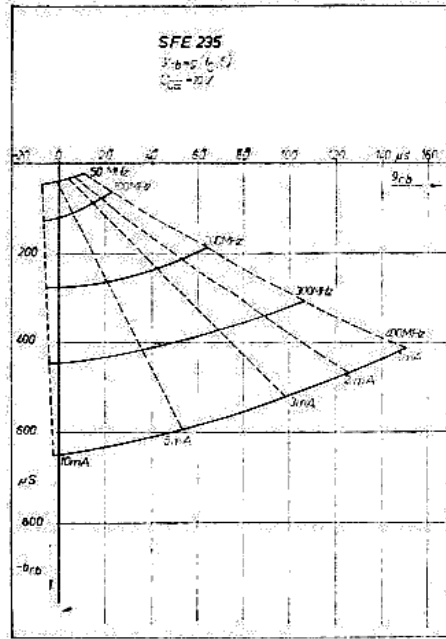
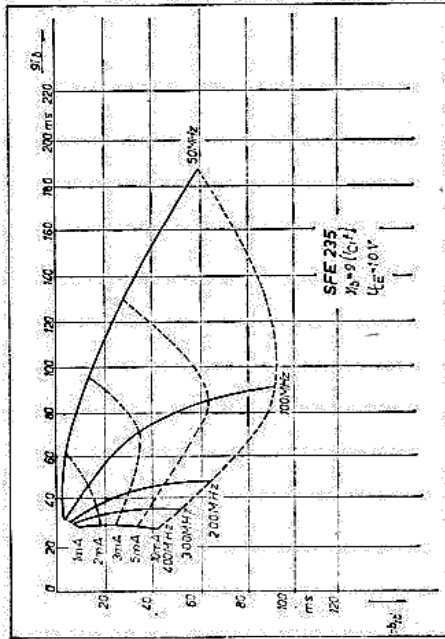
Pulse measurement



1  $R_{thJA} = 0,45\text{ K/mW}$   
auf Keramik/on ceramic  $30 \times 12 \times 1\text{ mm}$

2  $R_{thJA} = 0,7\text{ K/mW}$   
auf Glassubstrat/on glass substrate  $7 \times 7 \times 1\text{ mm}$





Stempelcode: / Code on case:

SFE 235 IO